

УРАВНЕНИЕ СОСТОЯНИЯ СИОН ВЗРЫВЧАТЫХ ВЕЩЕЙ

М.А. Бирюкова¹, Д.В. Петров¹, А.Ю. Гармашев¹, А.К. Музыка¹,
Ю.М. Ковалёв², Е.Б. Смирнов^{1,2}, А.В. Станкевич¹, Е.С. Шестаковская²,
Л.Х. Бадретдинова³

¹Российский федеральный ядерный центр - Всероссийский научно-исследовательский институт технической физики им. академ. Е.И. Забабахина, 456770 Сибирь

²Южно-Уральский государственный университет (НИУ), 454080 Челябинск
³Казанский национальный исследовательский технологический университет, 420015 Казань

Данная работа посвящена построению уравнения состояния молекулярного кристалла на основе теоретических представлений о строении вещества и верификации параметров уравнения состояния на основе экспериментальных данных, полученных в статических экспериментах.

Построение уравнений состояния (УС) является необходимым элементом математического моделирования нестационарных газодинамических процессов импульсного воздействия на вещества.

Предложенный подход построения уравнений состояния ТАТБ заключается в конструировании полумпирических моделей, в которых общий вид функциональных зависимостей термодинамического потенциала устанавливается с привлечением теоретических представлений, а экспериментальные данные используются для определения численных коэффициентов в этих зависимостях.

УРС молекулярных кристаллов строятся чаще всего на основе двух наиболее распространенных потенциалов: Гиббса $G(T,P)=TS-PV$ и Гельмгольца $F(V,T)=E-TS$.

В данной работе при построении физически корректного уравнения состояния удобно исходить из функции Гринаайзена. Удобство функции $F(V,T)$ состоит в том, что она позволяет проводить расчет в широком диапазоне изменения температуры и давления. А так же сама функция Гельмгольца, можно выразить все термодинамические функции и параметры. При построении аналитического выражения функции $F(V,T)$ удобно и общепринято представлять ее в виде суммы потенциальной и тепловой составляющих $F(V,T) = F_e(V) + F_p(V) + F_t(V,T)$. Потенциальная часть включает свободную энергию нудевых колебаний, а тепловую часть можно разделить на квазигармоническую и ангармоническую составляющие. Используя данное уравнение состояния можно легко получить疠е из уравнения процесса.

Рассматривая твердое тело при $T=0$ и не принимая во внимание движение ядер, обусловленное нудевыми колебаниями кристалла, будем считать их покоящимися. В этих условиях с позиций уравнения состояния необходимо, чтобы модель твердого тела удовлетворяла лишь двум основным требованиям: правильно описывала силы притяжения, возникающие при удалении ядер друг от друга, и силы отталкивания, появляющиеся при их сближении.

Рисунок 1 - Зависимость полной энергии взаимодействия частиц от их взаимного расстояния.

Для твердых тел, относящихся к классу молекулярных кристаллов, силами притяжения являются силы Ван-дер-Ваальса. Зависимость их от межатомного расстояния определяется соотношением обратно пропорциональных шестой степени межатомного расстояния. Силы отталкивания, обусловленные перекрыванием электронных оболочек и согласно экспоненциальному зависят от межатомного расстояния.

На основе анализа сил отталкивания и притяжения, был предложен упрощенный потенциал, и выдано выражение для холодной составляющей уравнения состояния, с учётом того, что понятие полного потока лишено физического смысла, и при $T=0$, атомы приобретают нудевые колебания.

Рисунок 2 - Кристаллическая структура молекулярного кристалла 1,3,5 -триамино 2,4,6 - тринитробензол

Данный взрывчатый вещество представляет интерес из-за уникально низкой чувствительности к внешним тепловым и механическим воздействиям. Высокая стойкость, по сравнению с большинством известных ВВ, позволяет расширить диапазон изменения термодинамических параметров (давления, температуры и т.д.) при проведении экспериментальных исследований, необходимых для построения уравнения состояния.

Наконец, обратимся к рентгеновским измерениям сжимаемости. Этот экспериментальный метод позволяет непосредственно измерять зависимость межатомных расстояний от давления.

Кривая изотермического сжатия до давления ~6.5 ГПа при температуре $T=293$ К была получена специалистами РФЯЦ-ВНИИТФ из источника синхротронного излучения ускорительного комплекса ВЭПП-3 Института Ядерной Физики (ИЯФ) Сибирского Отделения РАН с использованием метода поршковой дифракции при сжатии ТАТБ в ячейке с алмазными наковальнями.

Полученные в ходе исследования в ИЯФ СО РАН дифрактограммы были переданы для анализа в РФЯЦ-ВНИИТФ.

$$E_n(\delta) = \frac{3A}{b\rho_{ok}} \exp[b(1-\delta^{-1/3})] - \frac{C}{\rho_{ok}} \delta^n$$

где A, C, n - эмпирические константы, ρ_{ok} - плотность вещества при $T=0$ и $P=0$.

Найболее связь между упругими составляющими внутренней энергии и давления, получаем уравнение для упругой составляющей давления:

$$F_n(V) = \frac{3}{8} MRT \rho_0 \gamma(\delta) \theta(\delta) + \frac{3c_0^2}{b(n-3n-1)} [3n \exp[b(1-\delta^{-1/3})] - b\delta^n]$$

свободная энергия нудевых колебаний кристалла

свободная энергия учитываемая сила отталкивания

$$P_n(\delta) = \rho_0 \delta^2 \frac{dE_n}{d\delta}$$

$$P_n = A \delta^{2/3} \exp[b(1-\delta^{-1/3})] - C \delta^{(n+1)}$$

Давление учитываемые силы отталкивания
Давление учитываемые силы притяжения

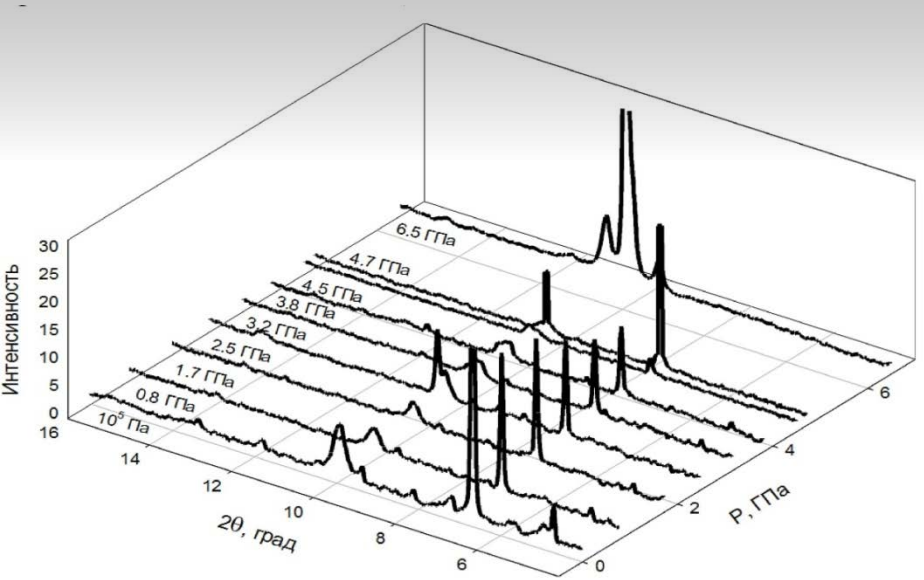


Рисунок 3 - Дифрактограммы ТАТБ при сжатии в алмазных наковальнях.

где $\delta = \frac{\rho}{\rho_{ok}}$ - безразмерный объем; M - число нудевых колебаний; $(3-N)$ - число атомов в молекуле; R - универсальная газовая постоянная; b - подобиный параметр при $T=0$; ρ_0 - скорость звука; γ - коэффициент Гринаайзена при $T=0$; $\theta(\delta)$ - температура Дебая при $\rho = \rho_0$; θ_c - температура Эйнштейна; ρ_0 - плотность при $T=293$ К; ρ - текущая плотность; $\gamma(\delta)$ - функция Гринаайзена; $D(\frac{\rho}{\rho_0})$ - функция Дебая; $\theta(\delta)$ - температура Дебая.

Данные по изотермическому сжатию, полученные авторами работы [4] аппроксимировались совместно с данными работы [3] уравнением (1). Данные [3] использовались с целью расширить диапазон применимости расчетной зависимости до 14 ГПа. Данные работ [1] и [2] не учитывались при аппроксимации, т.к. демонстрируют аномально низкую сжимаемость ТАТБ в теоретической работе [1] и высокую сжимаемость в работе [2].

Результаты аппроксимации на рисунке 5 демонстрируются графиком отклонения расчетной кривой от экспериментальных данных. Из графика видно, что отклонение расчетной кривой $P(\delta)$ от экспериментальных данных не превышает погрешность определения этих данных [4] и находится на уровне 2-3%.

Для определения коэффициентов, описывающих тепловую составляющую уравнения состояния, использовались данные по изобарическому нагреву и охлаждению ВВ ТАТБ дифрактометрическим методом [4]. Проведенный рентгеноструктурный анализ с учетом кристаллической модели ТАТБ позволил построить изобару ВВ ТАТБ [4].

В итоге для коэффициента объемного теплового расширения можем записать:

$$\alpha = \frac{\rho_0 \gamma(\delta) \delta}{K_r} \left[MR(4D(\frac{\rho_0}{T}))^2 - \frac{3 \theta_0 / T}{\exp(\theta_0 / T)} + (3N-M)R(\theta_0 / T)^2 \frac{\exp(\theta_0 / T)}{(\exp(\theta_0 / T) - 1)^2} \right], \quad (2)$$

где

$$K_r = K_x + \rho_0 \gamma(\delta) \sigma \frac{R}{\mu} \left[\frac{9}{8} \theta_0 (\delta) + 3TD(\frac{\rho_0}{T}) \right] \left[1 + \gamma(\delta) - \frac{\partial \ln \gamma(\delta)}{\partial \ln \delta} \right] - 12TD(\frac{\rho_0}{T}) + \frac{9\theta_0 \gamma(\delta)}{e^{\theta_0 / T} - 1} \quad - \text{модуль сжатия}; \quad K_x = -\frac{1}{\delta} \frac{\partial \chi(\delta)}{\partial \delta} \quad - \text{потенциальная часть модуля сжатия}.$$

Выражение (2) использовалось для аппроксимации данных по термическому расширению кристаллического ТАТБ, которые были получены путем численного дифференцирования изобары ТАТБ [4]. Результаты численного дифференцирования изобары $V_0(T)$ и аппроксимация этих данных уравнением (2) приведены на рисунке 6а. На графике для сравнения приведены данные теоретической работы [1].

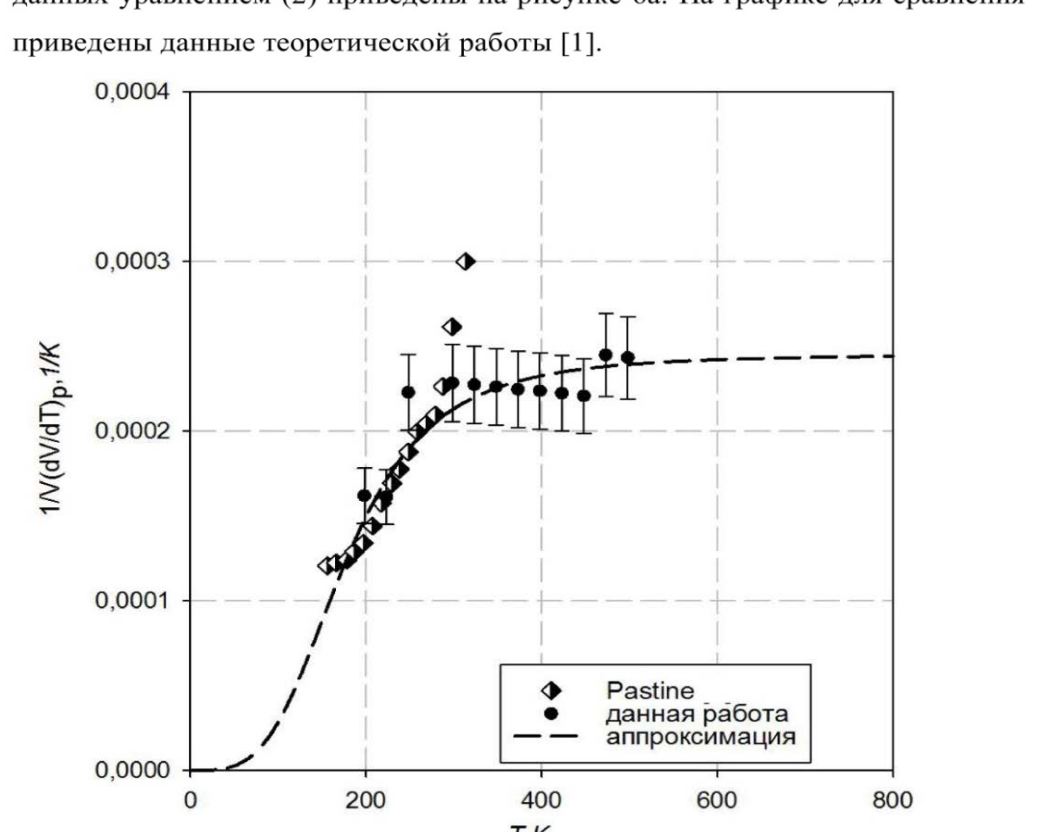


Рисунок 4 - Картинка изменения положения рефлексов ТАТБ при температурном воздействии.

На рисунке приведена картина изменения положения рефлексов в зависимости от величины температурного воздействия. Видно, что с увеличением температуры увеличивается значение регистрируемого угла характеристики для ТАТБ плоскости отражения. Полученной дифракционной картине достаточно для точного определения поведения элементарной ячейки молекулярного кристалла ТАТБ при температурном воздействии.

Полученные данные в дальнейшем использованы для верификации тепловых параметров уравнения состояния ТАТБ.

Проведя анализ аналитических представлений для коэффициента Гринаайзена, для построения уравнения состояния молекулярных кристаллов выбрана объемная зависимость коэффициента Гринаайзена в форме Зубаренко - Ваценко, опирающаяся на теорию свободного объема, которая наиболее реалистично описывает поведение конденсированных сред:

$$\gamma(\delta) = \gamma_0 \left[\frac{1}{2} \frac{\partial (P_n / \delta^{4/3})}{\partial P_n / \delta^{4/3}} \right] \frac{d\delta}{d\delta}$$

На основе коэффициента Гринаайзена $d\delta/dV = -\gamma'$ было выведено выражение для температуры Дебая:

$$\theta_D(\delta) = \theta_0 \exp \left(\frac{1}{2} \gamma_0 \frac{\partial (P_n / \delta^{4/3})}{\partial P_n / \delta^{4/3}} \right)$$

В качестве объекта исследований в данной работе выбран яркий представитель молекулярных кристаллов – взрывчатое вещество 1,3,5 -триамино 2,4,6 - тринитробензол.

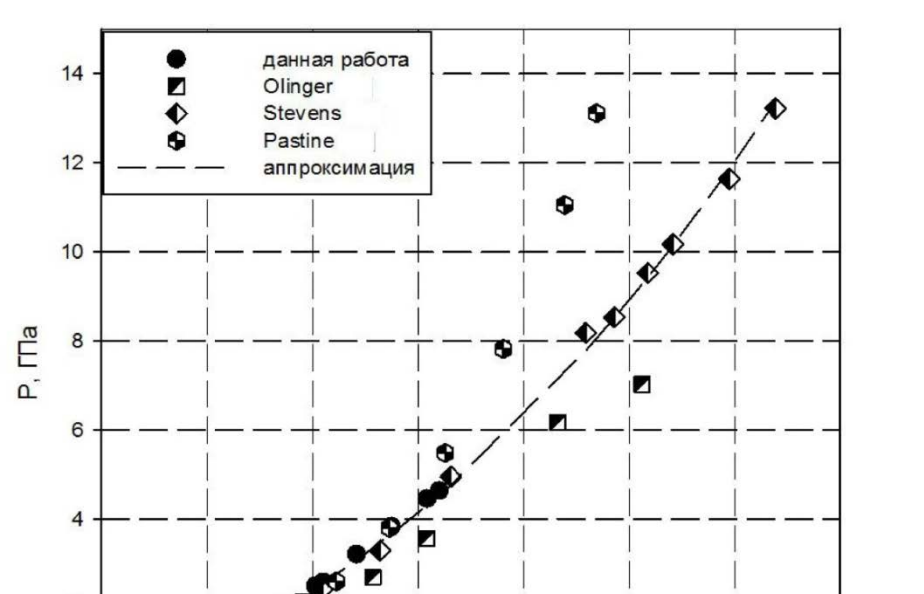


Рисунок 5 - Изотерма ТАТБ при температуре $T=293$ К

На рисунке 5а представлено изменение объема элементарной ячейки в зависимости от величины гидростатического давления. Для сравнения на графике приведены данные, полученные другими исследователями [1, 2, 3].

Данные по изотермическому сжатию аппроксимированы уравнением, полученным в предположении, что давление складывается из потенциальной и тепловой составляющих:

$$P(\delta) = \frac{3}{8} MRT \rho_0 \gamma(\delta) \theta(\delta) + \frac{3c_0^2}{b(n-3n-1)} [3n \exp[b(1-\delta^{-1/3})] - b\delta^n] \quad (1)$$

где P - потенциальное давление, E_n и E_0 имеют вид, соответственно:

$$P_n(\delta) = \frac{\rho_0 \gamma(\delta)}{\delta} [E_n - E_0(\delta)] \quad (4)$$

где P_n - потенциальное давление, E_n и E_0 имеют вид, соответственно:

$$E_n(\delta) = \frac{3}{b} \frac{\rho_0 C_{ok}^2}{b-3n-1} \exp[b(1-\delta^{-1/3})] - \frac{3 \rho_0 C_{ok}^2}{b-3n-1} \delta^{(n+1)} \quad (4)$$

$$E_0 = E_0(1) + \frac{R}{\mu} \left[\frac{9}{8} \theta_0 + 3TD(\frac{\rho_0}{T}) \right]$$

На рисунке 8а совместно с экспериментальными данными работ [6, 7] приведена расчетная изотерма ВВ ТАТБ и ударная адабата ТАТБ, рассчитанная на основе уравнения (4). Взаимное расположение изотермы и адабаты находится в согласии с физическими представлениями об изотермическом и адабатическом сжатии материалов.

расчетная кривая адабаты

расчетная кривая изотерма

данные

пористостью 1%

данные

пористостью 2%

экспериментальная изотерма

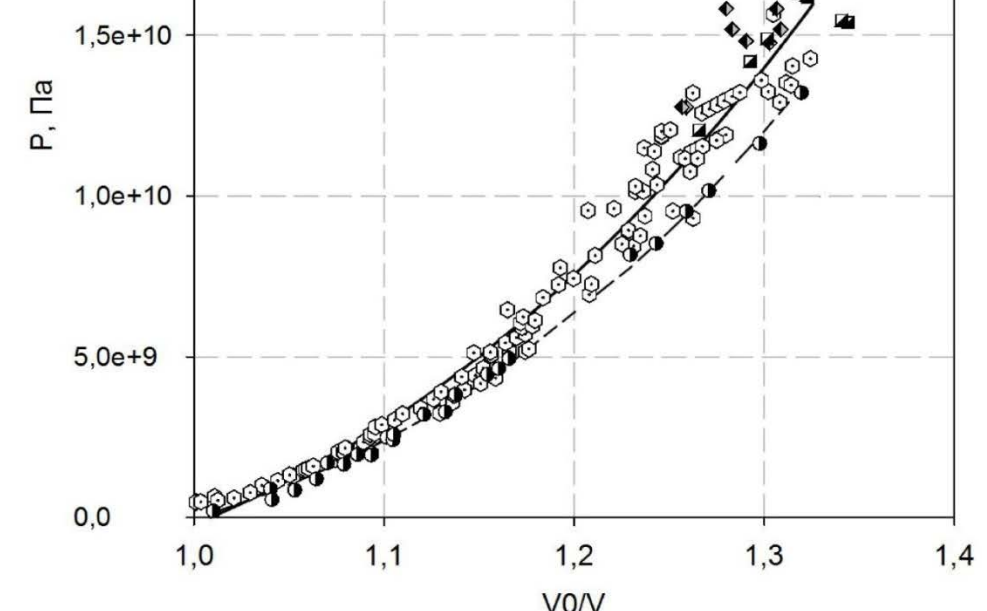


Рисунок 6 - Коэффициент теплового расширения ТАТБ при давлении $P=105$ Па

На рисунке 6а видно хорошее согласие данных настоящей работы и данных теоретической работы [1] до ~300 К и заметное расхождение данных выше ~300 К, рисунок 6б демонстрирует качество аппроксимации в виде разницы между экспериментальными и расчетными значениями, которая находится на уровне 20%, но при этом не превышает погрешность самих экспериментальных данных. Большая погрешность самих

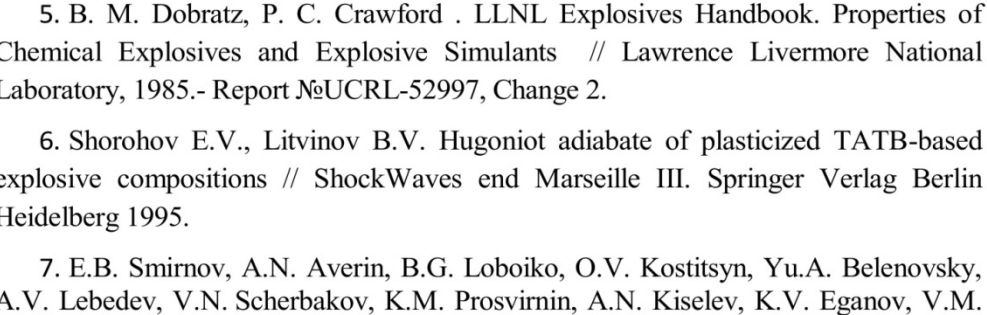


Рисунок 7 - Теплоемкость ТАТБ при постоянном давлении C_p и теплоемкости при постоянном объеме C_V

Корректность уравнения состояния ВВ ТАТБ проверялась описанием экспериментов по ударному сжатию ВВ ТАТБ. Ударная адабата P_r , представляющая зависимость ударного давления (давления за фронтом ударной волны), от удельного объема сжатого вещества, имеет вид:

$$P_r(\delta) = \frac{P_n(\delta) + \frac{\rho_0 \gamma(\delta)}{\delta} [E_n - E_0(\delta)]}{1 - \gamma(\delta)(1 - \delta) - \frac{2}{\delta}}, \quad (4)$$

где P_n - потенциальное давление, E_n и E_0 имеют вид, соответственно: